

УДК 681.58

Разработка математической модели пространственного полета квадрокоптера

Огольцов И.И.* , Рожнин Н.Б. **, Шеваль В.В.***

Московский авиационный институт (национальный исследовательский университет), МАИ, Волоколамское шоссе, 4, Москва, А-80, ГСП-3, 125993, Россия

**e-mail: ogoltsovii@mail.ru*

***e-mail: rozhnin@rambler.ru*

****e-mail: sheval@list.ru*

Аннотация

В предлагаемой статье рассмотрены конструктивная схема и математическая модель пространственного полета беспилотного летательного аппарата вертолетного типа – квадрокоптера. Эти аппараты получили большое применение в различных областях народного хозяйства. Однако сдерживающим фактором более широкого их применения является отсутствие общего подхода к определению облика автопилота, позволяющего целенаправленно и с приемлемым качеством автоматически управлять траекторией полета квадрокоптера. Рассмотренные в работе материалы предназначены для определения облика автопилота, его структуры, основных контуров и их параметров. По выбранной конструктивной схеме квадрокоптера, учитывающей только основные действующие на него силы и моменты, разработано математическое описание динамики составных частей при движении в пространстве. Управляющие силы и моменты формируются с помощью

четырёх двигателей, постоянно вращающихся установленных на их роторах воздушные винты. В математических моделях учтены неустранимые взаимодействия между различными приводами тяговых винтов, обусловленные структурой конкретного типа двигателей. Рассматривается пространственное движение с шестью степенями свободы. В процессе разработки математической модели, учитывающей особенности динамики данной управляемой системы, были рассмотрены основные контуры в структуре автопилота: контур стабилизации углового положения квадрокоптера, контур позиционирования квадрокоптера в пространстве и контур стабилизации скорости вращения двигателей. Согласованная работа этих контуров позволяет целенаправленно управлять траекторией полета и угловым положением квадрокоптера в пространстве при решении прикладной технической задачи комплекса, в состав которого входит рассматриваемый квадрокоптер. Предложены алгоритмы управления в каждом из контуров, обеспечивающие управляемое движение приемлемого для прикладной задачи качества. Полученный инструментарий в виде математической модели согласованного функционирования системы управления движением квадрокоптера может быть использован при разработке автопилота с заданными характеристиками точности.

Ключевые слова: управление полетом, квадрокоптер, привод стабилизации скорости, математическая модель, экологический мониторинг, аэромобильный лидар.

Введение

Как известно [1], для мониторинга и прогнозирования экологической обстановки в районах непредсказуемого возникновения нештатных ситуаций и катастроф все большее применение находят мобильные многофункциональные комплексы дистанционного лазерного зондирования, в том числе имеющие в своём составе малогабаритные беспилотные летательные аппараты – *аэромобильные лидары*. В качестве беспилотного летательного аппарата в [1] предложено использовать квадрокоптер – малогабаритный летающий интеллектуальный робот.

Положительным качеством аэромобильного лидара (АМЛ) является возможность работы «на ходу», без остановки транспортного средства, когда квадрокоптер (КК) стартует в одном географическом пункте, совершает полёт по заданию комплексной системы управления (КСУ) АМЛ и возвращается на транспортное средство лидара, находящееся к тому времени в другом географическом пункте. Но, подобное применение КК может быть обеспечено лишь в случае его полета в автоматическом режиме, т.е. требует создания автопилота КК.

В работе [2] показано, что такая сложная техническая система как автопилот КК, который имеет ярко выраженную иерархическую структуру, должна создаваться в соответствии с принципами системного проектирования, когда выбор альтернативного технического решения на уровне подсистем обязательно контролируется при проверке общего функционирования КК с подсистемой, реализующей каждую из альтернатив построения подсистемы.

В зависимости от конкретного итерационного цикла проектирования динамика полета КК исследуется на различных иерархических уровнях: от плоского полета КК с минимумом учитываемых воздействий и условий [3] до пространственного полета КК с учетом всех внешних и внутренних физических и конструктивных факторов (заключительные этапы проектирования).

В качестве технического инструментария осуществления процесса системного проектирования системы управления полетом (СУП) КК используется соответствующая математическая модель (ММ) полета КК под управлением автопилота.

В работе рассмотрена математическая модель управляемого полета квадрокоптера в пространстве, позволяющая проводить проектные исследования структуры автопилота, учитывающей особенность замкнутого контура управления полетом: наличие общего исполнительного органа (совокупность четырех тяговых электродвигателей) для контуров управления полетом по трем взаимно перпендикулярным осям.

1 Блок-схема системы управления полетом КК

Упрощенная конструктивная схема КК показана на рис. 1, где:

D_i – тяговые двигатели постоянного тока (ДПТ); B_i – балки конструкций крепления D_i ; F_i – тяговые силы, создаваемые воздушными винтами; v_i – воздушные винты; r – расстояние от центра масс (ЦМ) КК до продольной оси каждого из ДПТ, ($i = 1,2,3,4$).

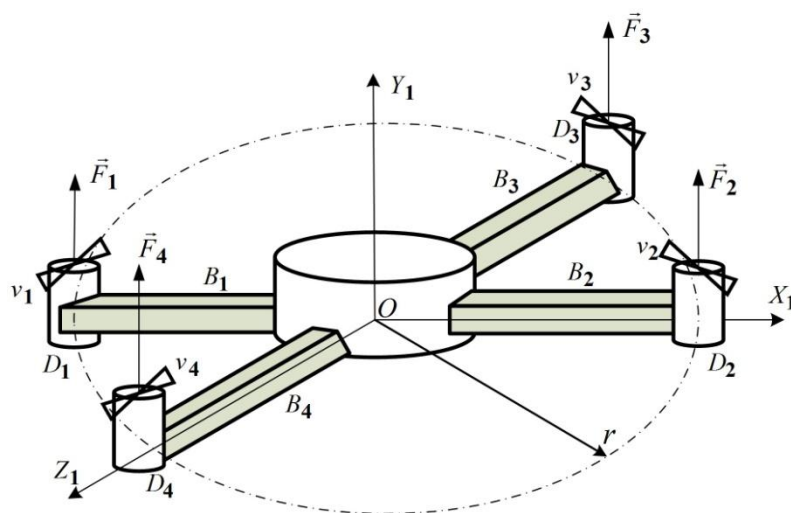


Рис. 1 Конструктивная схема квадрокоптера

Конструктивный крест, составленный из балок B_i , формирует основную опорную плоскость КК, пространственное угловое положение которой определяется тремя угловыми координатами $\psi_k, \vartheta_k, \gamma_k$. Пространственное положение ЦМ КК определяется тремя линейными координатами x_k, y_k, z_k .

Суть управления параметрами полета КК заключается в поддержании такого углового положения КК, при котором вектор скорости КК \vec{v}_k имеет направление и величину, обеспечивающие движение (полет) КК по заданной траектории (а также обеспечивает «зависание» КК).

Как указывалось выше, для управления полетом и выполнения целевых задач КК формируется СУП, функционирующая в автоматизированном и автоматическом режимах. Блок-схема СУП КК показана на рис. 2, где:

АКП, АКС и АПСС ДПТ – алгоритмы контуров позиционирования и стабилизации КК и алгоритмы управления приводами стабилизации скорости (ПСС); ДиК КК – динамика и кинематика полета КК; $\vec{\Phi}_v = |\varphi_{v1}, \varphi_{v2}, \varphi_{v3}, \varphi_{v4}|^T$ –

вектор скорости вращения тяговых винтов; $F_i = K_{vi}^F \cdot \dot{\phi}_{vi}^2$ – величина тяговой силы; $|x_k, y_k, z_k|^T$ – радиус-вектор пространственного положения КК; $|x_k, y_k, z_k|_{zad}^T$ – вектор пространственного положения КК; $|\Delta x_k, \Delta y_k, \Delta z_k|^T$ – вектор ошибки линейного позиционирования КК в пространстве; $K_{vi}^F = \frac{\alpha_{vi} \cdot \rho \cdot D_{vi}^4}{4\pi^2}$; α_{vi} – безразмерный коэффициент тяги; ρ – плотность воздуха; D_{vi} – диаметр i -го воздушного винта; Φ_{Kzad} – требуемое угловое положение КК; Φ_K – совокупность углов $\psi_k, \vartheta_k, \gamma_k$; $\Delta\Phi_K$ – ошибка установки углового положения КК; $\vec{\phi}_{vzad}$ – вектор требуемых угловых скоростей ПСС; $|\omega_x, \omega_y, \omega_z|^T$ – вектор угловых скоростей КК; $\vec{F}_T = \vec{F}_1 + \vec{F}_2 + \vec{F}_3 + \vec{F}_4$ – вектор суммарной тяги КК; $I_{\dot{\phi}}$, $I_{\omega_x \omega_y \omega_z}$, $I_{\psi \vartheta \gamma}$, I_{xyz} , $I_{\dot{x}\dot{y}\dot{z}}$ – измерители соответствующих параметров полета КК.

– базовая (связанная) СК (БСК) $OX_1Y_1Z_1$ – подвижная вращающаяся СК.

Положение БСК $OX_1Y_1Z_1$ относительно НСК $OX_GY_GZ_G$ определяется тремя углами Эйлера $\psi_k, \vartheta_k, \gamma_k$;

– скоростная СК (РСК) $OX_VY_VZ_V$ – подвижная СК.

Положение РСК $OX_VY_VZ_V$ относительно НСК $OX_GY_GZ_G$ определяется двумя углами θ_k (угол наклона траектории КК) и ϕ_k (курсовой угол пути).

3 Уравнения динамики и кинематики полёта КК

Схема формирования тяговых сил КК показана на рис. 3, где:

$-\vec{F}_T^{Y_1} = F_T^{Y_1} \cdot \vec{y}_1^0$ – вектор суммарного тягового усилия вдоль оси OY_1 ; $F_T^{X_G}$,

$F_T^{Y_G}$, $F_T^{Z_G}$ – проекции вектора $\vec{F}_T^{Y_1}$ на оси НСК $OX_GY_GZ_G$; \vec{V}_k – вектор скорости

движения КК относительно ССК $O_CX_CY_CZ_C$; $\vec{F}_\Sigma^V = (\vec{F}_T + \vec{G}) \cdot \vec{x}_V^0 = \vec{F}_\Sigma = F_\Sigma \cdot \vec{x}_V^0$ –

вектор суммарной движущей силы, приложенной к КК.

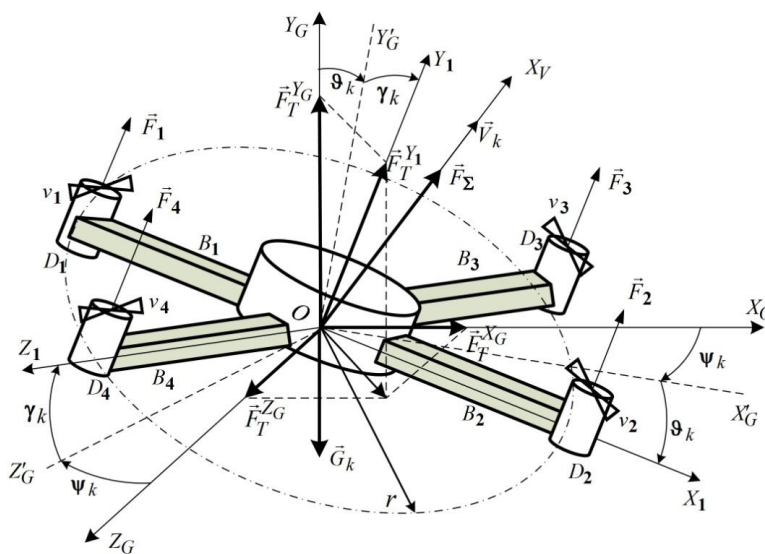


Рис. 3 Схема формирования тяговых сил квадрокоптера

3.1 Уравнения динамики движения ЦМ КК в ССК $O_C X_C Y_C Z_C$

(соответствующие оси ССК $O_C X_C Y_C Z_C$ и НСК $O X_G Y_G Z_G$ параллельны между собой) имеют вид:

$$\left. \begin{aligned} -m_k V_k \frac{d\theta_k}{dt} &= F_T^{X_G} = \sum F^{X_G}; \\ m_k \frac{dV_k}{dt} &= F_T^{Y_G} - G = \sum F^{Y_G}; \\ m_k V_k \frac{d\varphi_k}{dt} \sin\theta_k &= F_T^{Z_G} = \sum F^{Z_G}, \end{aligned} \right\} (1)$$

где: $G = m_k g$ – сила тяжести КК массой m_k ; g – ускорение свободного падения.

3.2 Уравнения кинематики движения ЦМ КК в ССК $O_C X_C Y_C Z_C$:

$$\left. \begin{aligned} \dot{x}_k &= V_k^{X_G} = V_k \cos\varphi_k \cos\theta_k; \\ \dot{y}_k &= V_k^{Y_G} = V_k \sin\theta_k; \\ \dot{z}_k &= V_k^{Z_G} = -V_k \sin\varphi_k \cos\theta_k. \end{aligned} \right\} (2)$$

Для текущих координат положения КК по каждой из осей ССК $O_C X_C Y_C Z_C$ верны соотношения:

$$\left. \begin{aligned} x_k^C(t) &= x_k^C(0) + \int_0^t V_k \cos\varphi_k \cos\theta_k \cdot dt; \\ y_k^C &= y_k^C(0) + \int_0^t V_k \sin\theta_k \cdot dt; \\ z_k^C &= z_k^C(0) - \int_0^t V_k \sin\varphi_k \cos\theta_k \cdot dt. \end{aligned} \right\} (3)$$

На основании систем уравнений (1) и (3) сформирована блок-схема ММ линейного движения ЦМ КК в пространстве (блок линейного полета – *БЛП*), показанная на рис. 4, где аргумент $(\mathbf{0})$ соответствует начальному условию $t = 0$.

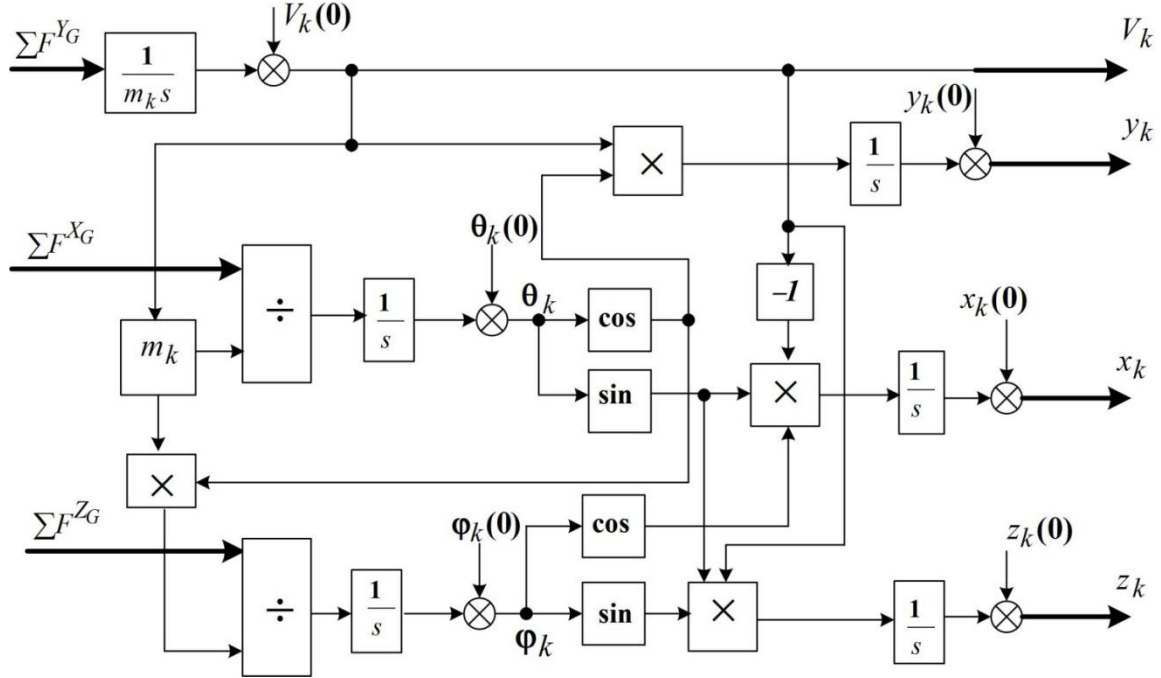


Рис. 4. Блок-схема ММ линейного движения центра масс квадрокоптера

3.3 Уравнения динамики движения вокруг ЦМ КК:

$$\left. \begin{aligned} J_{x_1} \frac{d\omega_{x_1}}{dt} + (J_{z_1} - J_{y_1}) \omega_{z_1} \omega_{y_1} &= \Sigma M^{X_G}; \\ J_{y_1} \frac{d\omega_{y_1}}{dt} + (J_{x_1} - J_{z_1}) \omega_{x_1} \omega_{z_1} &= \Sigma M^{Y_G}; \\ J_{z_1} \frac{d\omega_{z_1}}{dt} + (J_{y_1} - J_{x_1}) \omega_{y_1} \omega_{x_1} &= \Sigma M^{Z_G}, \end{aligned} \right\} (4)$$

где: $J_{x_1}, J_{y_1}, J_{z_1}, \omega_{x_1}, \omega_{y_1}, \omega_{z_1}$ – моменты инерции и угловые скорости КК

относительно осей БСК $OX_1Y_1Z_1$.

В дальнейшем, для упрощения записи индекс «1» (принадлежность к БСК $OX_1Y_1Z_1$) опускаем, т.е. записываем J_x, J_y, J_z и $\omega_x, \omega_y, \omega_z$.

3.4 Уравнения кинематики движения вокруг ЦМ КК:

$$\left. \begin{aligned} \dot{\psi}_k &= \frac{1}{\cos \vartheta_k} (\omega_y \cos \gamma_k - \omega_z \sin \gamma_k); \\ \dot{\gamma}_k &= \omega_x - \operatorname{tg} \vartheta_k (\omega_y \cos \gamma_k - \omega_z \sin \gamma_k); \\ \dot{\vartheta}_k &= \omega_y \sin \gamma_k + \omega_z \cos \gamma_k. \end{aligned} \right\} (5)$$

На основании систем уравнений (4) и (5) сформирована блок-схема ММ вращательного движения КК вокруг ЦМ (блок вращательного движения – *БВД*), показанная на рис. 5, где $\omega_x(0), \omega_y(0), \omega_z(0), \gamma_k(0), \vartheta_k(0)$ и $\psi_k(0)$ – начальные значения соответствующих параметров.

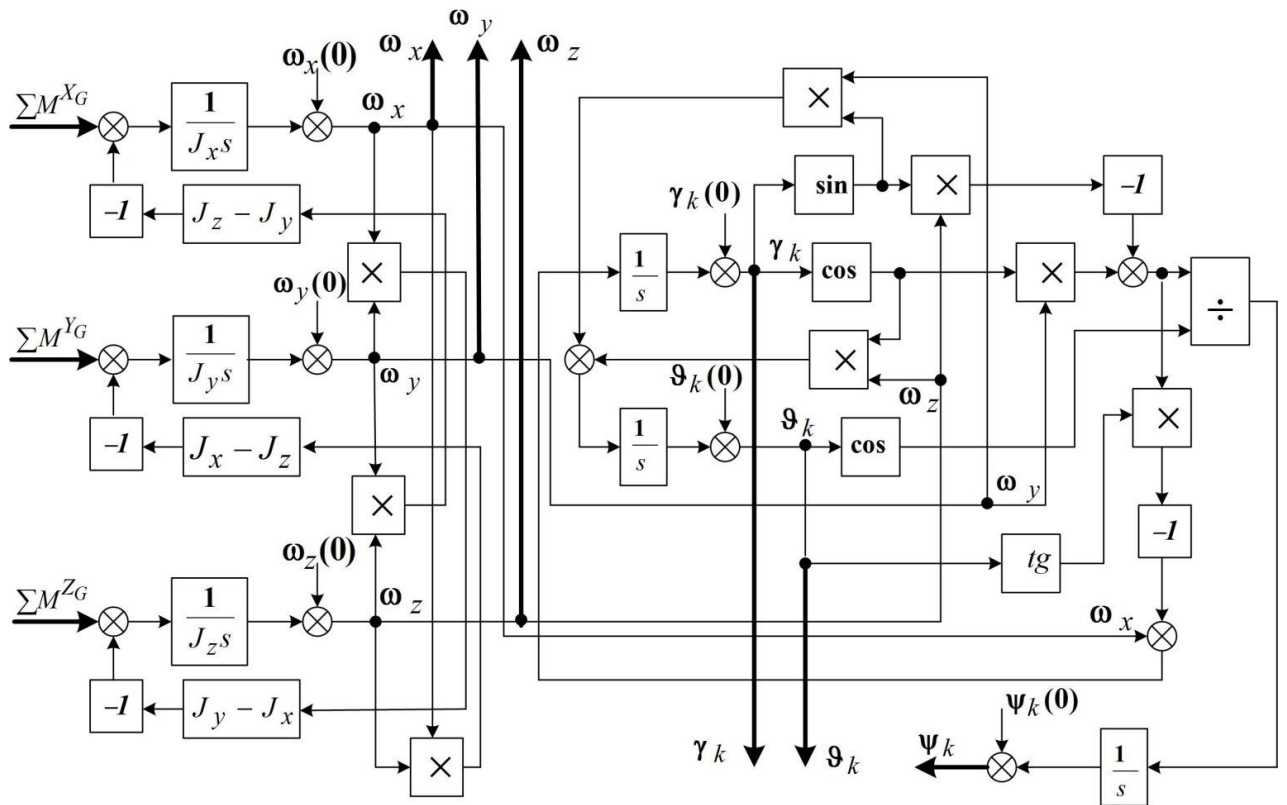


Рис. 5. Блок-схема ММ вращательного движения КК вокруг его ЦМ

4 Моменты и силы, учитываемые при разработке

ММ системы управления полетом

Все моменты для формирования вращательного движения КК вокруг его ЦМ и силы для формирования поступательного перемещения КК формируются за счет установки заданных скоростей вращения роторов каждого из ДПТ, а величины моментов сил – за счет взаимных соотношений между этими тяговыми силами. Установка заданных скоростей вращения реализуется с помощью ПСС.

Структурная схема ПСС_{*i*} на основе ДПТ_{*i*} показана на рис. 6, где:

k_{vz} , k_{ui} , c_{mi} , c_{ei} , R_{ai} , L_{ai} – коэффициент вязкости воздуха, электронного и электромеханического усилений, коэффициент противо-эдс, электрические параметры обмотки ДПТ; J_{ni} – момент инерции вращающихся частей; $T_{ai} = \frac{L_{ai}}{R_{ai}}$ – электромагнитная постоянная времени ДПТ_{*i*}; M_{dvi} , $M_{i\Sigma}$, $M_{pi}^{Y_1}$ – движущий момент ДПТ, момент, приложенный к винту, момент реакции ДПТ; k_{di} , k_{tgi} – масштабный коэффициент соответствующих датчиков; k_{kori} , T_{kori} – коэффициент усиления и постоянная времени корректирующего звена.

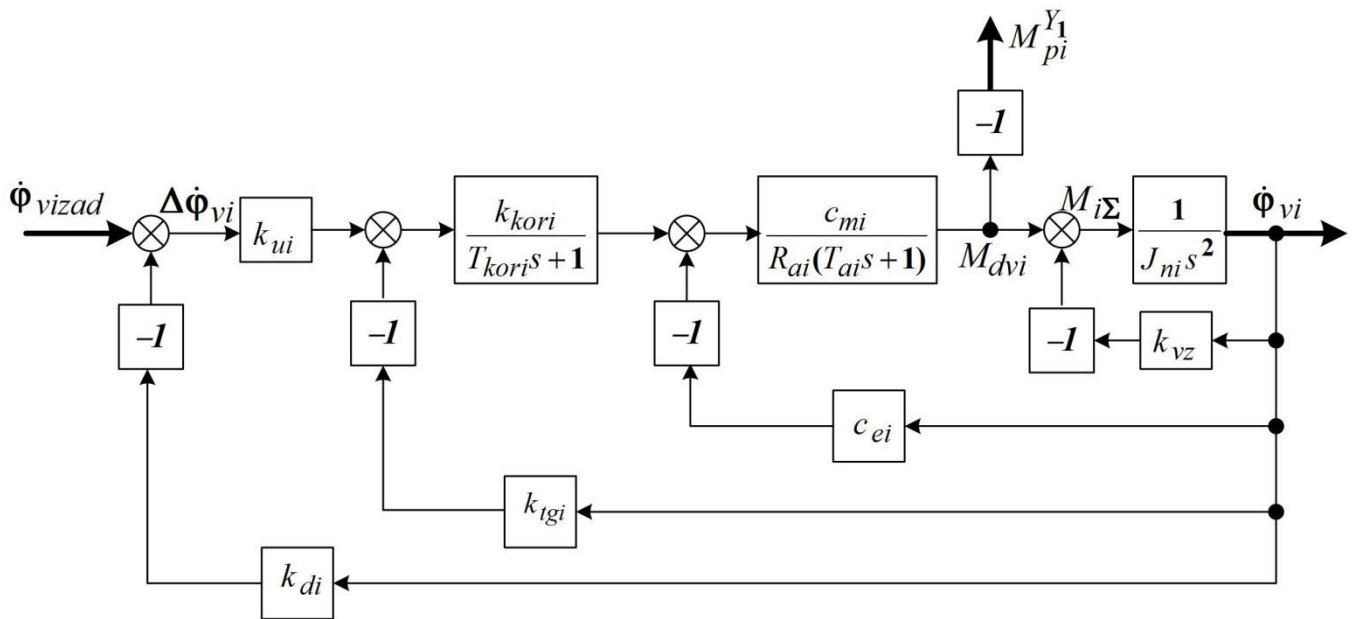


Рис. 6. Структурная схема привода стабильной скорости на основе ДПТ

В соответствии с введенными выше условиями создания ММ полета КК будем учитывать следующие моменты сил, действующие на КК:

4.1 Разнотяговость ДПТ₃ и ДПТ₄ создаёт момент сил $\vec{M}_{\Delta F_{34}}^{X_1}$ вокруг оси OX_1

Так как $\vec{M}_{\Delta F_{34}}^{X_1} = (F_3 - F_4)r \cdot \vec{x}_1^0$, то, обозначив $\Delta F_{34} = F_3 - F_4$, получим

$\vec{M}_{\Delta F_{34}}^{X_1} = \Delta F_{34}r \cdot \vec{x}_1^0 = M_{\Delta F_{34}}^{X_1} \cdot \vec{x}_1^0$. В силу разнотяговости ($F_3 \neq F_4$) в НСК $OX_G Y_G Z_G$:

$$\vec{M}_{\Delta F_{34}}^G = \left| \vec{M}_{\Delta F_{34}}^{X_1} \right|_G = A_G^1(\psi_k, \vartheta_k, \lambda_k) \cdot \left| M_{\Delta F_{34}}^{X_1}, 0, 0 \right|_1^T, \text{ где } A_G^1(\psi_k, \vartheta_k, \gamma_k) =$$

$$= \begin{vmatrix} \cos\psi_k \cos\vartheta_k & -\cos\psi_k \sin\vartheta_k \cos\gamma_k + \cos\psi_k \sin\vartheta_k \sin\gamma_k + \\ \sin\vartheta_k & +\sin\psi_k \sin\gamma_k & +\sin\psi_k \cos\gamma_k \\ -\sin\psi_k \cos\vartheta_k & \cos\vartheta_k \cos\gamma_k & \cos\vartheta_k \sin\gamma_k \\ & \sin\psi_k \sin\vartheta_k \cos\gamma_k + & -\sin\psi_k \sin\vartheta_k \sin\gamma_k + \\ & +\cos\psi_k \sin\gamma_k & +\cos\psi_k \cos\gamma_k \end{vmatrix}. \quad (6)$$

Следовательно:

$$\vec{M}_{\Delta F_{34}}^G = \vec{x}_G^0 \cdot \Delta F_{34} \cdot r \cdot \cos\psi_k \cos\vartheta_k + \vec{y}_G^0 \cdot \Delta F_{34} \cdot r \cdot \sin\vartheta_k -$$

$$- \vec{z}_G^0 \cdot \Delta F_{34} \cdot r \cdot \sin \psi_k \cos \vartheta_k. \quad (7)$$

4.2 Разнотяговость ДПТ₁ и ДПТ₂ создаёт момент сил $\vec{M}_{\Delta F_{21}}^{Z_1}$ вокруг оси

OZ_1 .

Так как $\vec{M}_{\Delta F_{21}}^{Z_1} = (F_2 - F_1)r \cdot \vec{z}_1^0$, то, обозначив $\Delta F_{21} = F_2 - F_1$, получим

$\vec{M}_{\Delta F_{21}}^{Z_1} = \Delta F_{21}r \cdot \vec{z}_1^0 = M_{\Delta F_{21}}^{Z_1} \cdot \vec{z}_1^0$. Момент от разнотяговости ($F_1 \neq F_2$) в НСК

$OX_G Y_G Z_G$ имеет вид:

$$\vec{M}_{\Delta F_{21}}^G = \left| \vec{M}_{\Delta F_{21}}^{Z_1} \right|_G = A_G^1(\psi_k, \vartheta_k, \gamma_k) \cdot \left| \mathbf{0}, \mathbf{0}, M_{\Delta F_{21}}^{Z_1} \right|_1^T.$$

Следовательно:

$$\begin{aligned} \vec{M}_{\Delta F_{21}}^G = & \vec{x}_G^0 \cdot \Delta F_{21} \cdot r (\cos \psi_k \sin \vartheta_k \sin \gamma_k + \sin \psi_k \cos \gamma_k) - y_G^0 \cdot \Delta F_{21} \cdot r \cdot \cos \vartheta_k \sin \gamma_k + \\ & + \vec{z}_G^0 \cdot \Delta F_{21} \cdot r \cdot (\cos \psi_k \cos \gamma_k - \sin \psi_k \sin \vartheta_k \sin \gamma_k). \end{aligned} \quad (8)$$

4.3 Различие в моментах реакции ДПТ создает момент сил $\vec{M}_{p\Sigma}^{Y_1}$ вокруг

оси OY_1 .

Примем, что ДПТ₁ и ДПТ₃ вращаются по часовой стрелке, а ДПТ₂ и ДПТ₄ –

против часовой стрелки, тогда $\vec{M}_{p\Sigma}^{Y_1} = (\vec{M}_{p1}^{Y_1} + \vec{M}_{p3}^{Y_1}) - (\vec{M}_{p2}^{Y_1} + \vec{M}_{p4}^{Y_1})$. Запишем

выражение для передаточной функции привода стабилизации скорости вращения:

$$M_{pi}^{Y_1}(s) = Q_i \frac{T_{vzi}s + 1}{a_{i3}s^3 + a_{i2}s^2 + a_{i1}s + 1} \cdot \varphi_{vizad}(s), \quad (9)$$

$$\text{где: } Q_i = \frac{k_{kori}k_{ui}k_{vz}}{c_{ei}K_{pri}}; \quad K_{pri} = \mathbf{1} + \frac{k_{kori}(k_{tgi} + k_{ui})}{c_{ei}} + \frac{T_{mi}}{T_{vzi}}; \quad T_{mi} = \frac{J_{ni}R_{ai}}{c_{mi}c_{ei}};$$

$$T_{vzi} = \frac{J_{ni}}{k_{vz}}; \quad a_{i3} = \frac{T_{ai}T_{kori}T_{mi}}{K_{pri}}; \quad a_{i2} = \frac{T_{ai}T_{mi}T_{kori} + T_{mi}T_{vzi}(T_{ai} + T_{kori})}{T_{vzi}K_{pri}};$$

$$a_{i1} = \frac{T_{mi}(T_{ai} + T_{kori}) + T_{vzi}(T_{mi} + T_{kori})}{T_{vzi}K_{pri}}.$$

Выражение для моментов реакции при условии $(M_{p1}^{Y_1} + M_{p3}^{Y_1}) \neq (M_{p2}^{Y_1} + M_{p4}^{Y_1})$

в НСК $OX_G Y_G Z_G$ принимает вид:

$$\vec{M}_{p\Sigma}^G = \left| \vec{M}_{p\Sigma}^{Y_1} \right|_G = A_G^1(\psi_k, \vartheta_k, \gamma_k) \cdot \left| \mathbf{0}, M_{p\Sigma}^{Y_1} \right|_1^T.$$

Следовательно

$$\begin{aligned} \vec{M}_{p\Sigma}^G = & \bar{x}_G^{\mathbf{0}} \cdot M_{p\Sigma}^{Y_1} (\sin\psi_k \sin\gamma_k - \cos\psi_k \sin\vartheta_k \cos\gamma_k) + \bar{y}_G^{\mathbf{0}} \cdot M_{p\Sigma}^{Y_1} \cos\vartheta_k \cos\gamma_k + \\ & + \bar{z}_G^{\mathbf{0}} \cdot M_{p\Sigma}^{Y_1} (\cos\psi_k \sin\gamma_k + \sin\psi_k \sin\vartheta_k \cos\gamma_k). \quad (10) \end{aligned}$$

4.4 Силы, действующие на КК.

Вектор тягового усилия в НСК $OX_G Y_G Z_G$ имеет вид:

$$\vec{F}_T^G = \begin{vmatrix} F_T^{XG} \\ F_T^{YG} \\ F_T^{ZG} \end{vmatrix} = A_G^1(\psi_k, \vartheta_k, \gamma_k) \cdot \begin{vmatrix} \mathbf{0} \\ F_T^{Y_1} \\ \mathbf{0} \end{vmatrix} = \left| \mathbf{0}, F_T^{Y_1}, \mathbf{0} \right|_1^T, \quad \text{где } F_T^{Y_1} = \sum_{i=1}^4 F_i^{Y_1}.$$

Следовательно, можно представить в виде:

$$\begin{aligned} \vec{F}_T^G = & \bar{x}_G^{\mathbf{0}} \cdot F_T^{Y_1} (\sin\psi_k \sin\gamma_k - \cos\psi_k \sin\vartheta_k \cos\gamma_k) + \bar{y}_G^{\mathbf{0}} \cdot F_T^{Y_1} \cos\vartheta_k \cos\gamma_k + \\ & + \bar{z}_G^{\mathbf{0}} \cdot F_T^{Y_1} (\cos\psi_k \sin\gamma_k + \sin\psi_k \sin\vartheta_k \cos\gamma_k). \quad (11) \end{aligned}$$

Выражения для суммы сил, действующих по осям НСК $OX_G Y_G Z_G$, используются в системе уравнений (1):

$$\left. \begin{aligned} \Sigma F^{X_G} &= F_T^{Y_1} (\sin \psi_k \sin \gamma_k - \cos \psi_k \sin \vartheta_k \cos \gamma_k); \\ \Sigma F^{Y_G} &= F_T^{Y_1} \cos \vartheta_k \cos \gamma_k - m_k g; \\ \Sigma F^{Z_G} &= F_T^{Y_1} (\cos \psi_k \sin \gamma_k + \sin \psi_k \sin \vartheta_k \cos \gamma_k). \end{aligned} \right\} (12)$$

Выражения для суммы моментов, действующих вокруг осей НСК $OX_G Y_G Z_G$, используются в системе уравнений (4):

$$\left. \begin{aligned} \Sigma M^{X_G} &= M_{\Delta F_{34}}^{X_1} \cos \psi_k \cos \vartheta_k + M_{p\Sigma}^{Y_1} (\sin \psi_k \sin \gamma_k - \\ &- \cos \psi_k \sin \vartheta_k \cos \gamma_k) + M_{\Delta F_{21}}^{Z_1} (\cos \psi_k \sin \vartheta_k \sin \gamma_k + \sin \psi_k \cos \gamma_k); \\ \Sigma M^{Y_G} &= M_{\Delta F_{34}}^{X_1} \sin \vartheta_k - M_{\Delta F_{21}}^{Z_1} \cos \vartheta_k \sin \gamma_k + M_{p\Sigma}^{Y_1} \cos \vartheta_k \cos \gamma_k; \\ \Sigma M^{Z_G} &= -M_{\Delta F_{34}}^{X_1} \sin \psi_k \cos \vartheta_k + M_{p\Sigma}^{Y_1} (\cos \psi_k \sin \gamma_k + \\ &+ \sin \psi_k \sin \vartheta_k \cos \gamma_k) + M_{\Delta F_{21}}^{Z_1} (\cos \psi_k \cos \gamma_k - \sin \psi_k \sin \vartheta_k \sin \gamma_k). \end{aligned} \right\} (13)$$

В результате блок-схема ММ формирования сил и моментов, действующих на КК приобретает вид, показанный на рис. 7 (блок сил и моментов – **БСМ**).

Блок-схема ММ объекта управления (ОУ) СУП показана на рис. 8 (блок объекта управления – **БОУ**).

5 Объект управления и исполнительный орган СУП КК

Управляющими воздействиями СУП КК являются координаты: $F_i^{Y_1}$ и $M_{pi}^{Y_1}$.

Регулируемыми координатами СУП КК являются x_k, y_k и z_k , а также $\psi_k, \vartheta_k, \gamma_k$.

Промежуточными координатами СУП КК являются θ_k и ϕ_k .

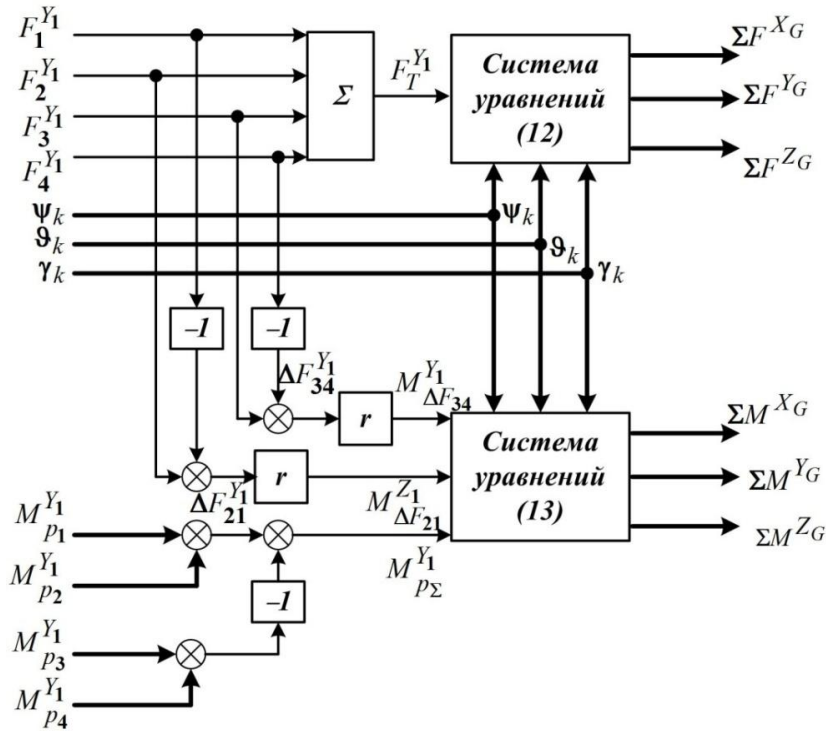


Рис. 7. Блок-схема ММ сил и моментов, действующих на КК

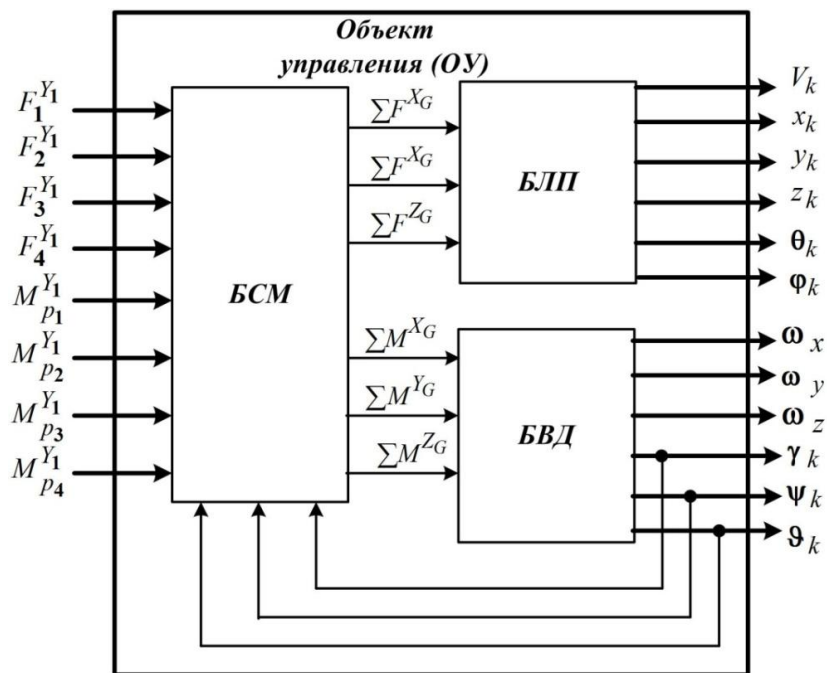


Рис. 8. Блок-схема ММ объекта управления

Параметрами состояния ОУ, используемыми в процессах управления и доступными для измерения с помощью различных датчиков, являются $\dot{x}_k, \dot{y}_k, \dot{z}_k, \omega_x, \omega_y, \omega_z$.

Исполнительным органом (ИО), т.е. органом, формирующим силовые воздействия системы управления полетом КК, является совокупность из 4-х ПСС, реализующих силы тяги.

Блок-схема ММ ИО показана на рис. 9 (блок исполнительного органа – **БОИ**).

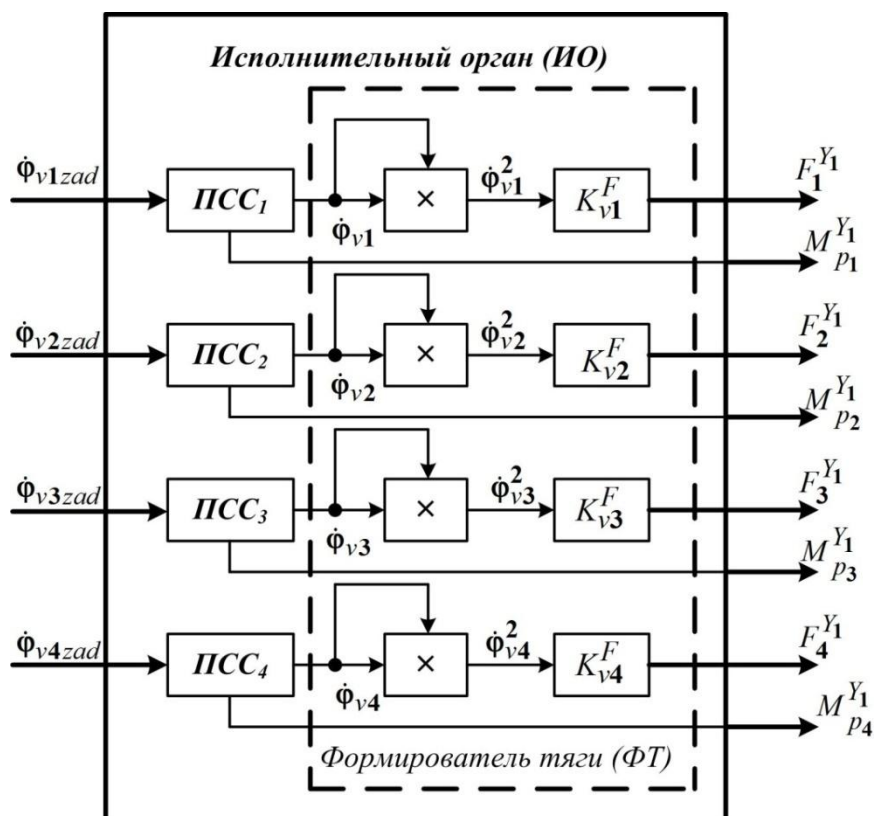


Рис. 9. Блок-схема ММ исполнительного органа КК

6 Автопилот СУП КК

Автопилот состоит из трёх составных частей: блок формирования ϕ_{vizad} , блок измерения параметров состояния ОУ и блок формирования заданий.

6.1 Блок формирования $\Phi_{v_{izad}}$

Регулирование осуществляется по трем координатам x_k , y_k , z_k , которые определяют положение ЦМ КК в пространстве, и по параметру Ψ_k , определяющему направление полета КК.

Управление движением КК вдоль оси OY_G осуществляется за счет регулирования величины тяги $F_T^{Y_1} = \sum_{i=1}^4 F_i^{Y_1}$ по отношению к весу КК, поэтому

регулирование по координатам x_k , z_k и Ψ_k должно осуществляться при условии поддержания той величины тяги $F_T^{Y_1}$, которая установлена по каналу регулирования координаты y_k . В автопилоте рассчитывается величина веса КК

(G_p), которая создает постоянную составляющую тяги ($F_T^{Y_1} = G_p$), что обеспечивает режим «зависания» КК (при $\gamma_k = \vartheta_k = 0$), а отклонения от заданного значения координаты $y_k - \Delta y_k = y_{zad} - y_k$ в зависимости от своего знака приводят либо к увеличению, либо к уменьшению тяги $F_T^{Y_1}$.

Чтобы создать движение вдоль оси OX_1 , необходимо повернуть КК вокруг оси OZ_1 , т.е. с противоположными знаками подать на ДПТ₁ и ДПТ₂ отклонения от заданного значения координаты x_k : $\Delta x_k = x_{zad} - x_k$.

Аналогичным образом для создания движения вдоль оси OZ_1 необходимо повернуть КК вокруг оси OX_1 , т.е. с противоположными знаками подать на ДПТ₃ и ДПТ₄ отклонения от заданного значения координаты z_k : $\Delta z_k = z_{zad} - z_k$.

Выбор направления полета КК может быть произведён путём разворота КК вокруг оси OY_1 , который осуществляется за счет создания разностного момента реакции ДПТ $[(\bar{M}_{p1}^{Y_1} + \bar{M}_{p3}^{Y_1}) \neq (\bar{M}_{p2}^{Y_1} + \bar{M}_{p4}^{Y_1})]$. В этом случае на ДПТ₁ и ДПТ₃, а также на ДПТ₂ и ДПТ₄ необходимо сформировать сигналы (с противоположными знаками) отклонения от заданного значения координаты ψ_k : $\Delta\psi_k = \psi_{zad} - \psi_k$.

Поэтому для 4-х выходных координат автопилота верны следующие выражения:

$$\left. \begin{aligned} \varphi_{v1zad} &= \varphi_{v\Sigma y}^P + \Delta\varphi_{vx}^P + \Delta\varphi_{v\psi}^P; \\ \varphi_{v2zad} &= \varphi_{v\Sigma y}^P - \Delta\varphi_{vx}^P - \Delta\varphi_{v\psi}^P; \\ \varphi_{v3zad} &= \varphi_{v\Sigma y}^P + \Delta\varphi_{vz}^P + \Delta\varphi_{v\psi}^P; \\ \varphi_{v4zad} &= \varphi_{v\Sigma y}^P - \Delta\varphi_{vz}^P - \Delta\varphi_{v\psi}^P, \end{aligned} \right\} (14)$$

где: $\varphi_{v\Sigma y}^P$, $\Delta\varphi_{vx}^P$, $\Delta\varphi_{vz}^P$ и $\Delta\varphi_{v\psi}^P$ – выходные сигналы регуляторов перемещения по соответствующим осям.

Регулятор канала перемещения по оси OY_G соответствует алгоритму:

$$\varphi_{v\Sigma y}^P = \varphi_{v\Sigma y} - K_{\dot{y}} \hat{y}_k, \quad (15)$$

где: \hat{y}_k , $\hat{\dot{y}}_k$ – измеренные значения координаты y_k и её скорости;

$$\varphi_{v\Sigma y} = \Delta\varphi_{vy} + \varphi_{vg}; \quad \Delta\varphi_{vy} = K_y (y_{zad} - \hat{y}_k); \quad \varphi_{vg} = K_{mg} K_g \sqrt{m_{kp} g p};$$

K_y , $K_{\dot{y}}$ – коэффициенты усиления соответствующих сигналов.

Коэффициенты K_g и K_{mg} ищутся, исходя из следующих соображений. Для режима «зависания» горизонтально расположенного КК можно записать:

$$\sum_{i=1}^4 F_i Y_1 = F_{T_0} = G_{ist}, \text{ где } G_{ist} - \text{истинный вес КК.}$$

Считая ДПТ идентичными, запишем $\varphi_{vi0} = \sqrt{\frac{G_{ist}}{4K_{vi}^F}} = \sqrt{\frac{1}{4K_{vi}^F}} \cdot \sqrt{m_{kist} g_{ist}}$, где:

m_{kist} и m_{kp} , g_{ist} и g_p – истинное и расчетное значения массы КК и ускорения свободного падения, поэтому при $m_{kp} = m_{kist}$ и $g_p = g_{ist}$ получаем $K_g = \frac{1}{2\sqrt{K_{vi}^F}}$.

Реально, все четыре ПСС соответствуют системам с астатизмом нулевого порядка ($\varphi_{vi0p} = \varphi_{vi0y} - \Delta\varphi_{vi}$, где индекс «0» соответствует режиму «зависания»), отчего возникает статическая ошибка ($\Delta\varphi_{vi}$) установки заданной скорости вращения тягового винта. В этом случае формируются следующие значения тяговых сил:

$$\sum_{i=1}^4 F_i Y_1 = \sum_{i=1}^4 K_{vi}^F \varphi_{vi0p}^2 = G_p \neq G_{ist}, \text{ где:}$$

$$\varphi_{vi0y} = \frac{1}{2\sqrt{K_{vip}^F}} \cdot \sqrt{m_{kp} g_p}; K_{vip}^F - \text{расчетное значение коэффициента } K_{vi}^F.$$

Кроме того, истинный вес КК может изменяться в процессе полета в зависимости от условий выполнения основной функциональной задачи КК. Возникающую ошибку в определении заданных скоростей вращения винтов парирует коэффициент K_{mg} , который имеет значения несколько большие единицы.

Регулятор перемещения по оси OX_G функционирует по следующему алгоритму (рис. 10а):

$$\Delta\varphi_{vx}^p = K_{x\vartheta} \{ K_{\vartheta} [f_{ogr\vartheta}(\Delta\varphi_{vx} - K_{\dot{x}} \hat{x}_k) - \hat{\vartheta}_k] - K_{\omega_z} \hat{\omega}_z \}, \quad (16)$$

где: \hat{x}_k , $\dot{\hat{x}}_k$, $\hat{\omega}_z$, $\hat{\vartheta}_k$ – измеренное значение соответствующих координат;
 $f_{ogr\vartheta}$ – функция типа «насыщение»; $\Delta\varphi_{vx} = K_x(x_{zad} - \hat{x}_k)$; K_x , $K_{\dot{x}}$, K_{ϑ} , $K_{x\vartheta}$,
 K_{ω_z} – коэффициенты усиления в каналах соответствующих сигналов;

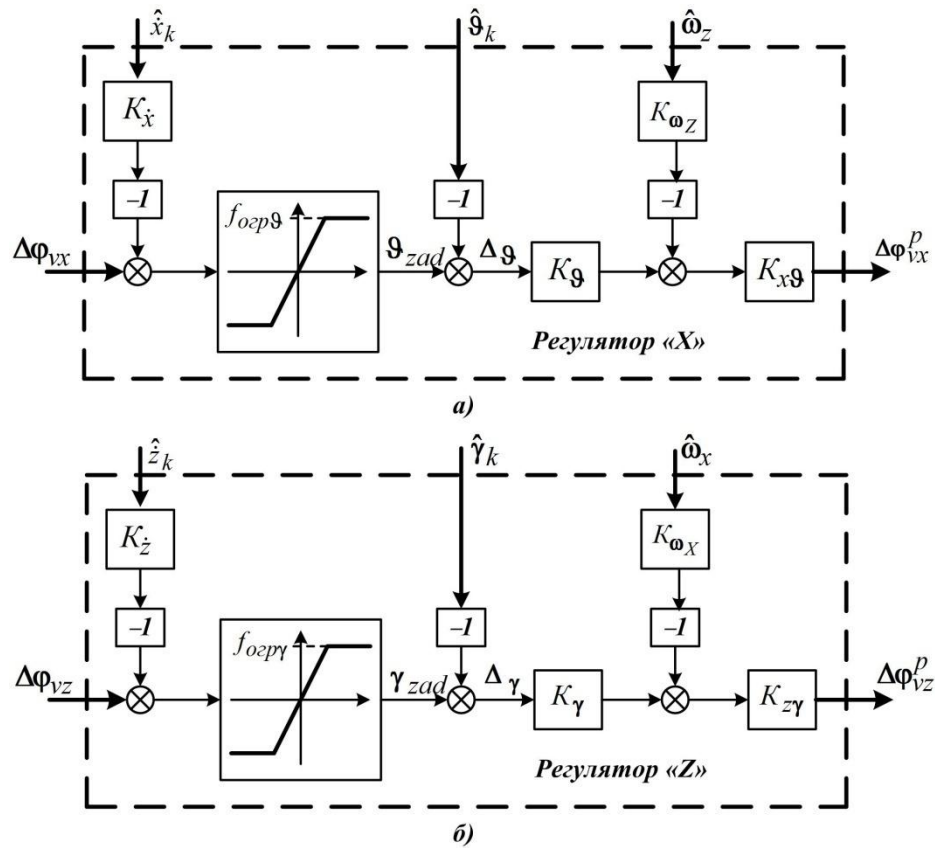


Рис. 10. Регуляторы перемещения по осям OX_G и OZ_G

Регулятор перемещения по оси OZ_G функционирует по следующему алгоритму (рис. 10б):

$$\Delta\varphi_{vz}^p = K_{z\gamma} \{ K_{\gamma} [f_{ogr\gamma}(\Delta\varphi_{vz} - K_{\dot{z}} z_k) - \hat{\gamma}_k] - K_{\omega_x} \hat{\omega}_x \}, \quad (17)$$

где: $\hat{z}_k, \dot{\hat{z}}_k, \hat{\omega}_x, \hat{\gamma}_k$ – измеренные значения соответствующих координат; $K_z, K_{\dot{z}}, K_\gamma, K_{z\gamma}, K_{\omega_x}$ – коэффициенты усиления в каналах соответствующих сигналов; $\Delta\varphi_{vz} = K_z(z_{zad} - \hat{z}_k)$.

Регулятор вращения вокруг оси OY_G функционирует по следующему алгоритму:

$$\Delta\varphi_{v\psi}^p = K_{\psi\dot{\psi}}(\Delta\varphi_{v\psi} - K_{\omega_y}\omega_y), \quad (18)$$

где: $K_\psi, K_{\psi\dot{\psi}}, K_{\omega_y}$ – коэффициенты усиления; $\Delta\varphi_\psi = K_\psi(\psi_{zad} - \hat{\psi}_k)$.

Блок-схема формирователя φ_{vizad} для автопилота показана на рис. 11.

6.2 Блок измерения параметров состояния СУП КК имеет в своём составе:

датчики положения КК в пространстве ($\hat{x}_k = K_{dat}^x x_k, \hat{z}_k = K_{dat}^z z_k$); датчики высоты полета ($\hat{y}_k = K_{dat}^y y_k$); датчики скорости изменения $\hat{\dot{x}}_k = K_{dat}^{\dot{x}} \dot{x}_k, \hat{\dot{y}}_k = K_{dat}^{\dot{y}} \dot{y}_k, \hat{\dot{z}}_k = K_{dat}^{\dot{z}} \dot{z}_k$; гироскопические датчики углов ($\hat{\vartheta}_k = K_{dat}^{\vartheta} \vartheta_k, \hat{\gamma}_k = K_{dat}^{\gamma} \gamma_k, \hat{\psi}_k = K_{dat}^{\psi} \psi_k$) и скоростей ($\hat{\omega}_{z1} = K_{dat}^{\omega_z} \omega_{z1}, \hat{\omega}_{x1} = K_{dat}^{\omega_x} \omega_{x1}, \hat{\omega}_{y1} = K_{dat}^{\omega_y} \omega_{y1}$).

6.3 Блок формирования задающих воздействий $x_{zad}, y_{zad}, z_{zad}$ и ψ_{zad} .

Так как автопилот КК является одним из уровней иерархической структуры КСУ АМЛ, задающие воздействия формируются в системе более высокого уровня по отношению к автопилоту в функции от реальных значений текущих параметров состояния КСУ АМЛ.

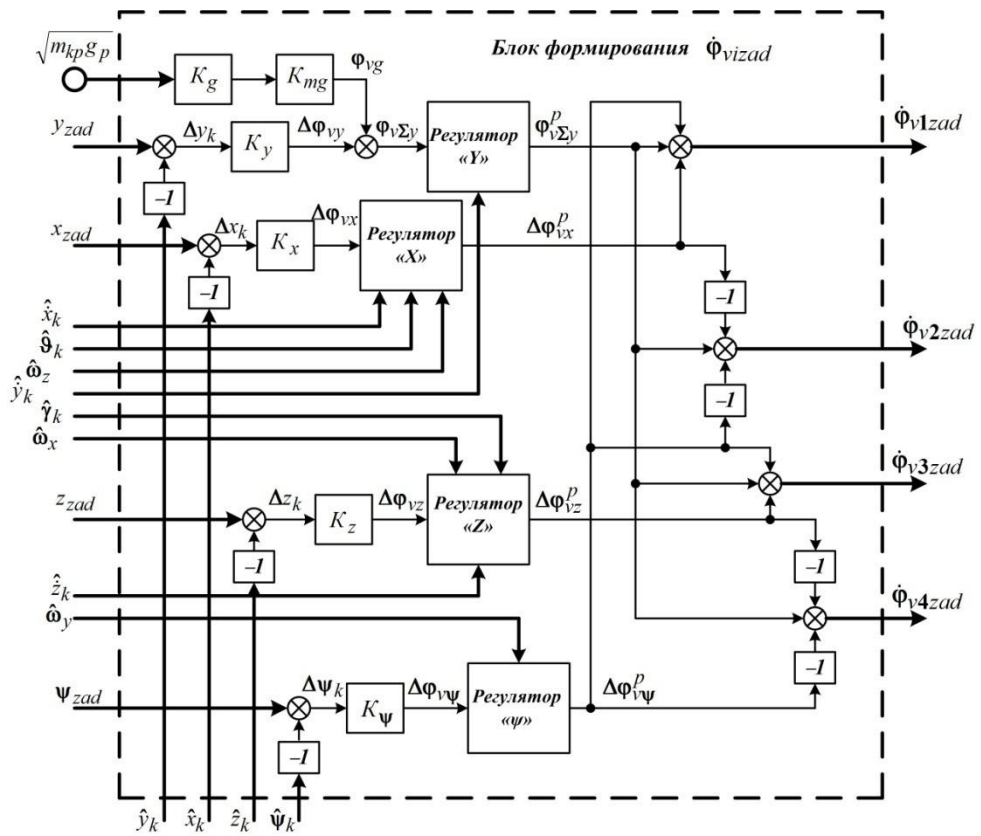


Рис. 11. Блок-схема формирователя $\Phi_{vизад}$

Блок-схема автопилота КК показана на рис. 12.

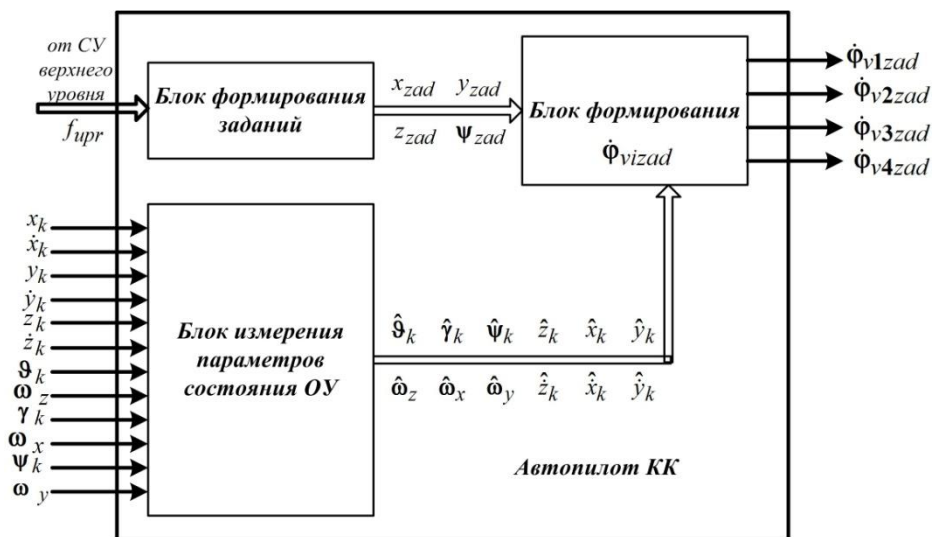


Рис. 12. Блок-схема ММ автопилота КК

На рис. 13 приведена общая блок-схема ММ пространственного полета КК.

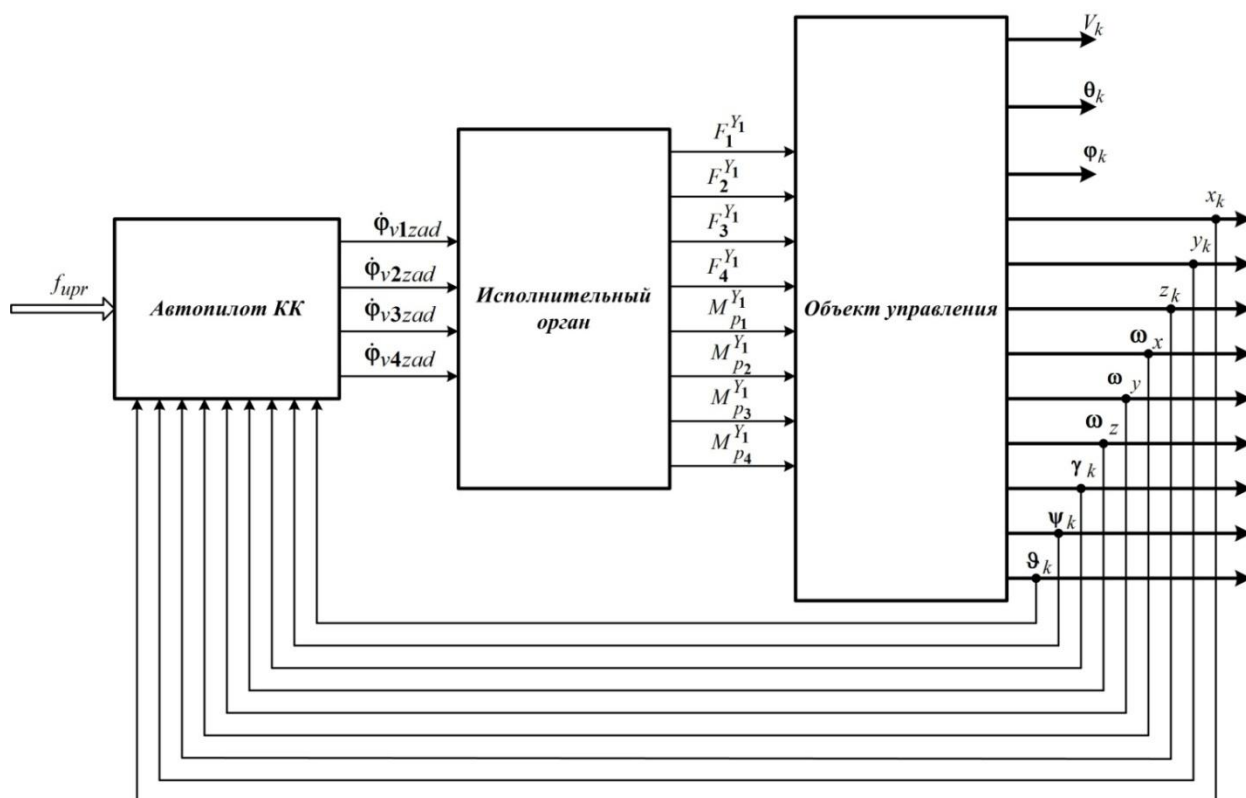


Рис. 13. Общая блок-схема ММ пространственного полета КК

Основными задачами ММ полета КК являются:

- нахождение законов управления полетом КК, обеспечивающих заданные показатели качества полета;
- обеспечение минимизации расходов на проектирование КК;
- исключение проектных ошибок, особенно на ранних стадиях проектирования.

ММ полета КК целесообразно использовать, в первую очередь, для функциональной и параметрической отработки бортовой системы управления КК на ранних стадиях проектирования, а также при осуществлении эффективной летной отработки КК.

Выводы

1. Разработана ММ пространственного полета квадрокоптера для случая абсолютно жесткой конструкции и отсутствия аэродинамического сопротивления.
2. Синтезирована структура автопилота для модели пространственного полета КК, учитывающая реальные факторы, принятые в данной работе .

Библиографический список

1. Апарин Ю.Я., Корнилов В.А., Шеваль В.В. Аэромобильный комплекс дистанционного контроля химического состава атмосферы. // Тезисы докладов научно-технической конференции «Системы управления беспилотными космическими и атмосферными летательными аппаратами», Москва, Марс, 2010 г., С. 46-47.
2. Огольцов И.И., Рожнин Н.Б., Шеваль В.В. Организация системного проектирования автопилота квадрокоптера // Тезисы докладов IX Всероссийской научно-технической конференции «Проблемы совершенствования робототехнических и интеллектуальных систем летательных аппаратов», Москва, МАИ – ПРИНТ, 2012 г., С. 309-317.
3. Огольцов И.И., Рожнин Н.Б., Шеваль В.В. Математическая модель квадрокоптера аэромобильного лидара // Известия ТулГУ. Технические науки. 2012. Вып. 1. С. 47-55.